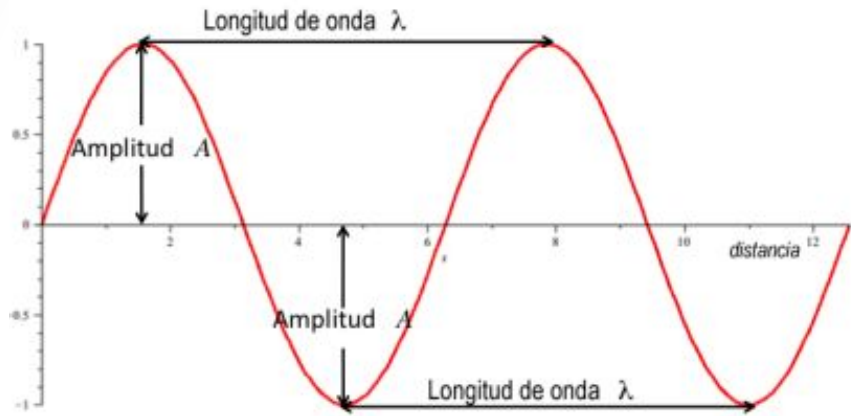


# Aspectos trascendentales de la Elipsometría.

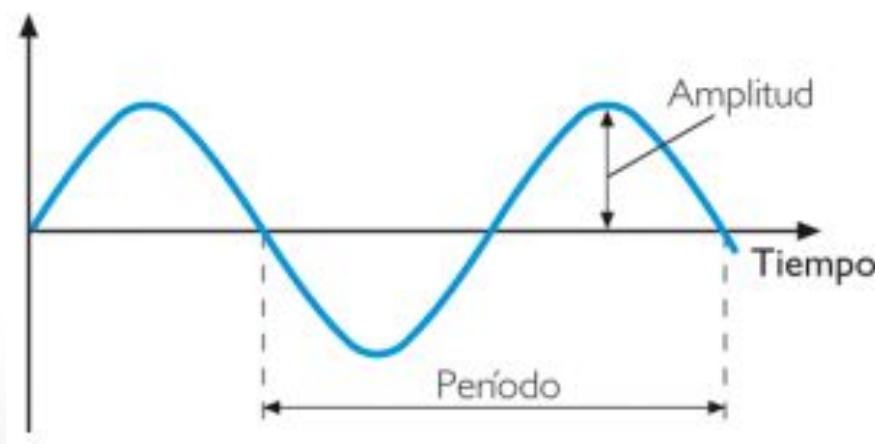
«Formalismo matemático para la caracterización óptica de materiales  
por medio de diferentes configuraciones elipsométricas»

Jose Antonio Reyes Vega  
20141135025

# Características de una Onda

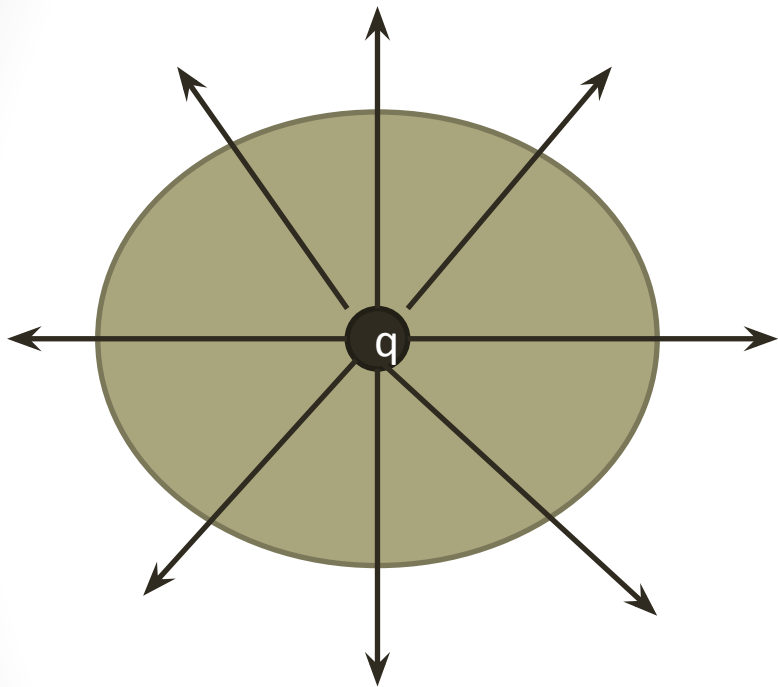


$$\therefore \nabla \phi = \frac{1}{v^2} \frac{\partial^2 \phi}{\partial t^2}$$

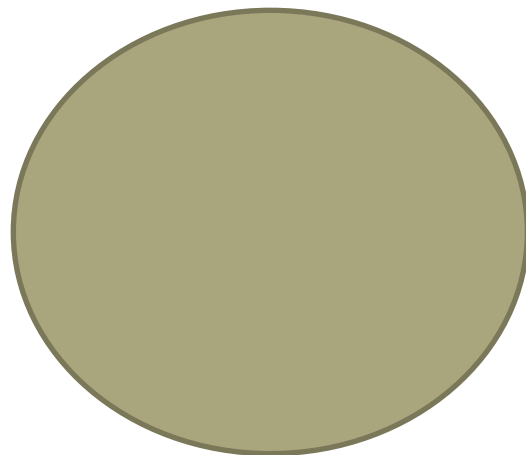


- Amplitud (A).
- Periodo ( $T$ ).
- Longitud de onda ( $\lambda$ ).
- Dirección de propagación ( $k$ ).

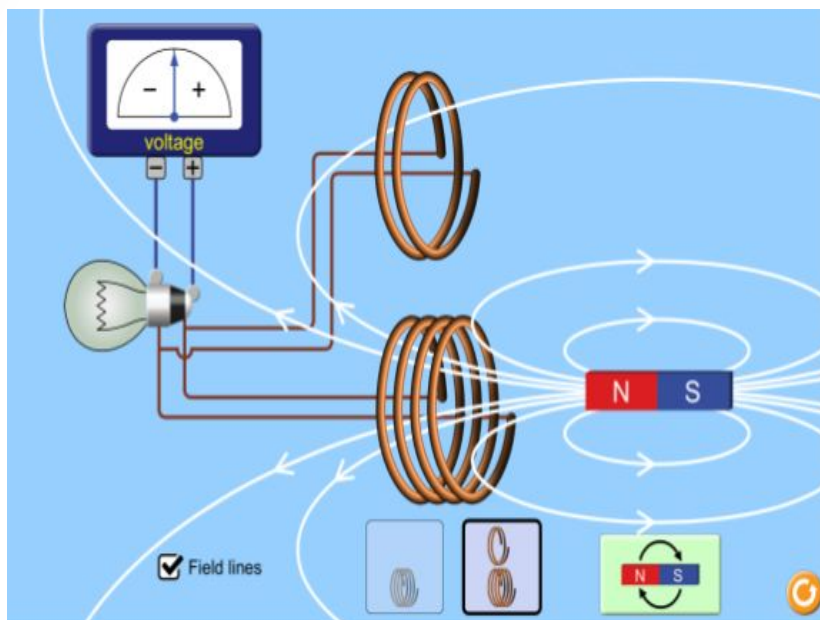
# Ecuaciones de Maxwell



$$\nabla \cdot \mathbf{E} = \frac{\rho}{\epsilon_0}$$

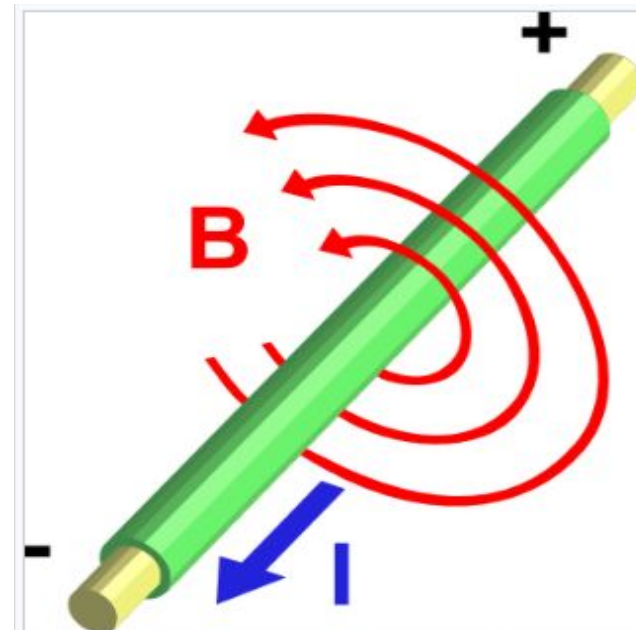


$$\nabla \cdot \mathbf{B} = 0$$



<https://phet.colorado.edu/es/simulation/faradays-law>

$$\nabla \times \mathbf{E} = -\frac{\partial \mathbf{B}}{\partial t}$$



[https://es.wikipedia.org/wiki/Ley\\_de\\_Amp%C3%A8re](https://es.wikipedia.org/wiki/Ley_de_Amp%C3%A8re)

$$\nabla \times \mathbf{B} = \mu_o \left[ \mathbf{j} + \epsilon_o \frac{\partial \mathbf{E}}{\partial t} \right]$$

# Fuentes de campo

## Electrostática y Magneto estática.

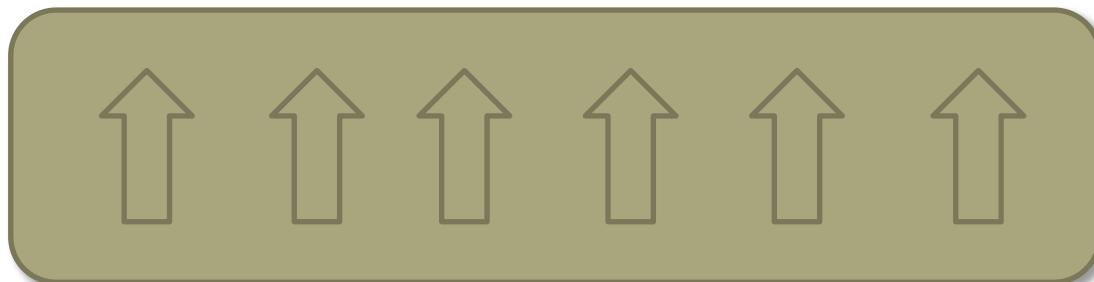
- Cargas.
- Corrientes.

## Electrodinámica y Magneto dinámica.

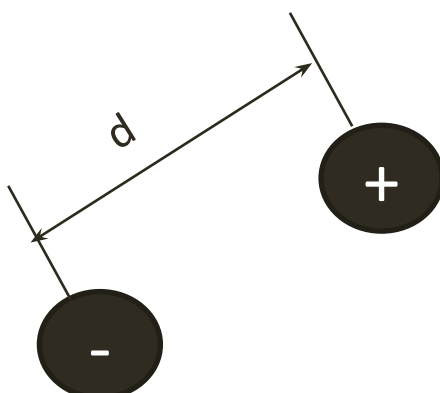
- Campo eléctrico.
- Campo magnético

# Propiedades de la materia

- Polarizabilidad:



Densidad de dipolos eléctricos.



$$\mathbf{P} = \frac{\mathbf{p}}{V}$$

$$\mathbf{P} = \epsilon_0 (\chi_1 \mathbf{E} + \chi_2 \mathbf{E}^2 + \dots)$$

$$\rho = \nabla P$$

<b>En el vacío</b>	<b>En la materia</b>	<b>Óptica lineal</b>

$$\left[ \nabla^2 - \frac{1}{v^2} \frac{\partial^2}{\partial t^2} \right] E = \left[ \mu_o \frac{\partial j}{\partial t} + \nabla \left( \frac{\rho}{\epsilon \epsilon_o} \right) \right]$$

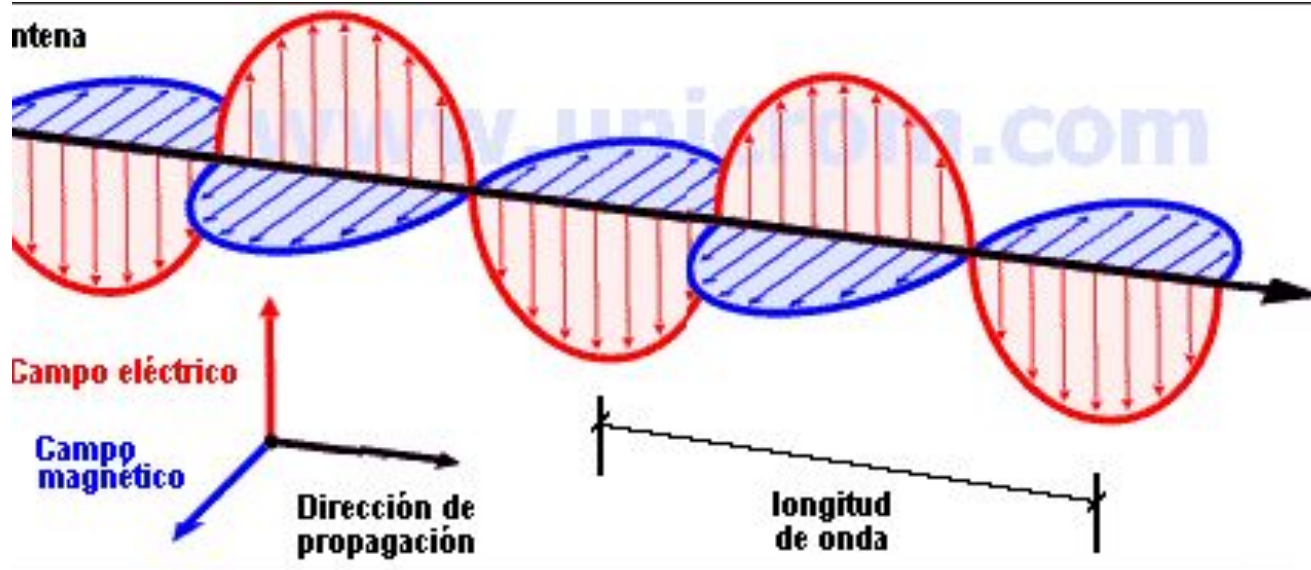
Donde la velocidad de propagación viene dada por:

$$v = \frac{c}{N}$$

# Solución ecuación de onda con

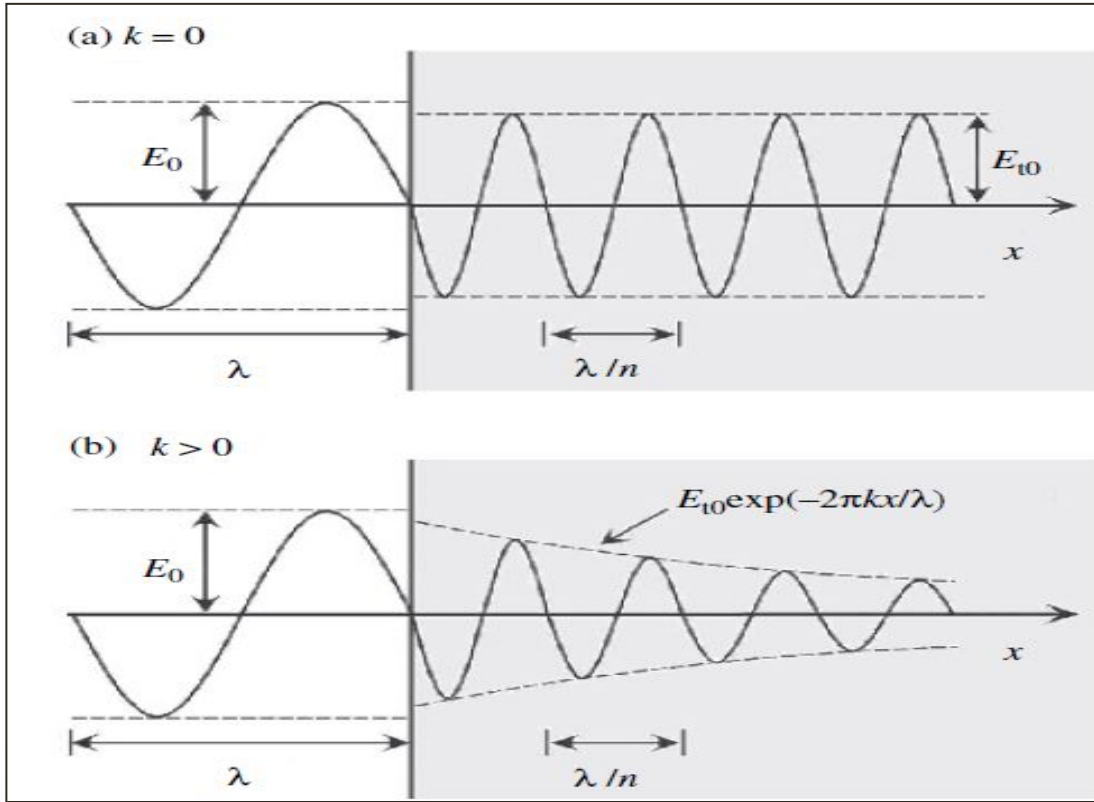
$$j = 0 \text{ y } \rho = 0$$

$$E = E_o e^{i(wt - kx + \delta)}$$



# Índice de refracción

$$\mathbf{E} = \left[ E_0 e^{-\frac{2\pi\kappa x}{\lambda}} \right] e^{i(wt - \frac{2\pi n}{\lambda}x + \delta)} \hat{\mathbf{E}}$$



En general

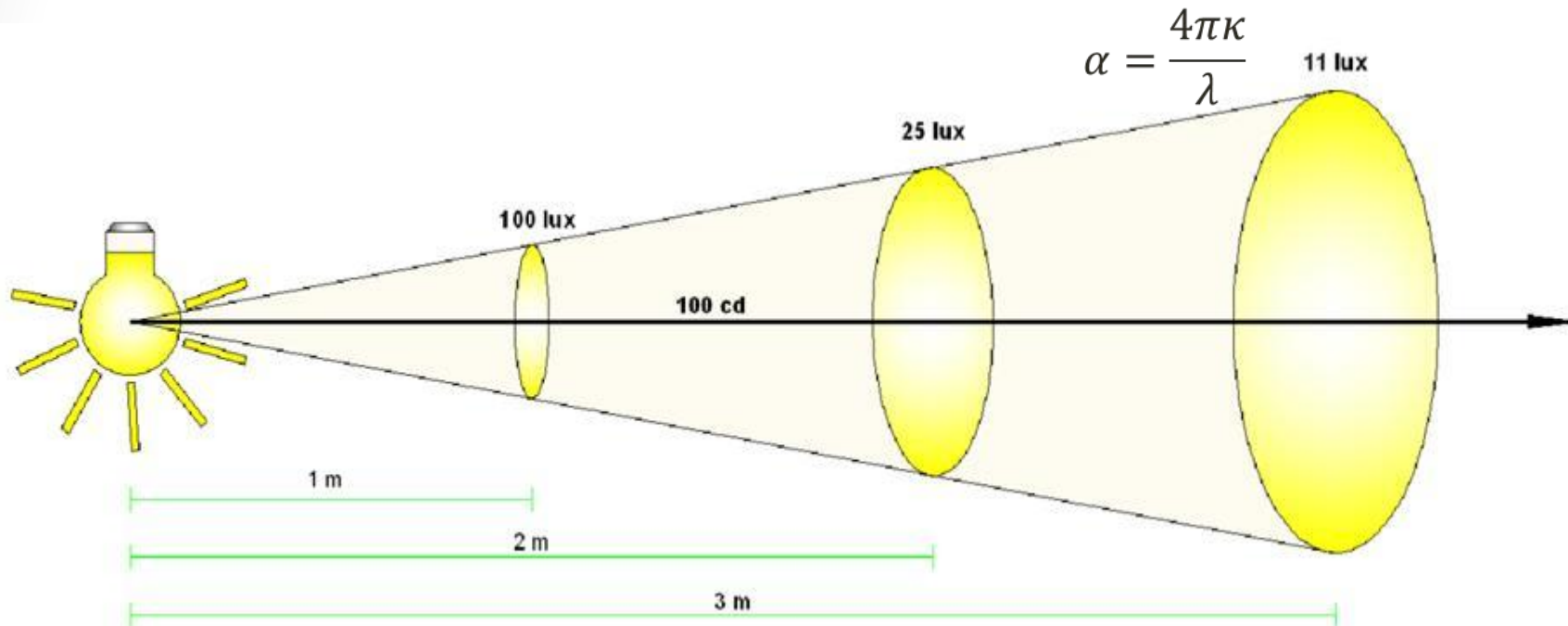
$$N = n - i\kappa$$

$$k = \frac{2\pi N}{\lambda}$$

# Intensidad de luz

- 

$$I = \frac{E_o^2}{2\mu_o c}$$

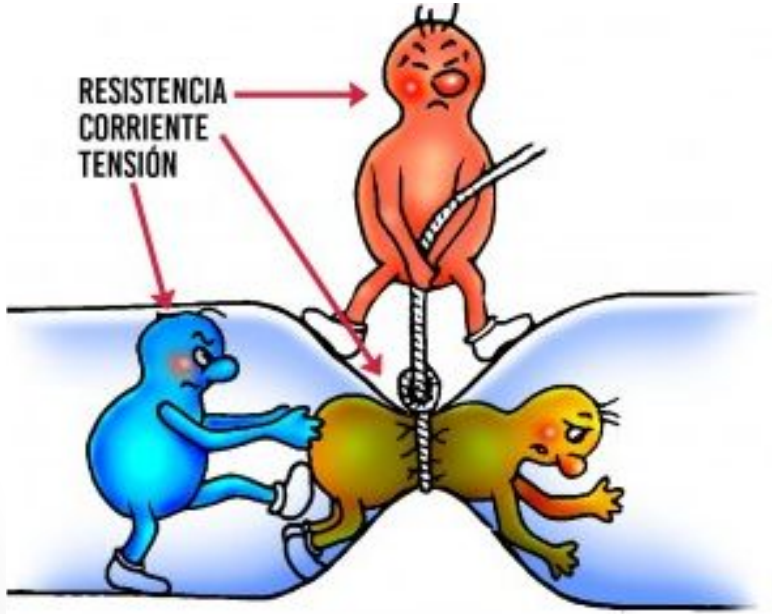


<http://www.higieneindustrialyambiente.com/analisis-medicion-monitoreo-luz-iluminacion-laboral-quito-guayaquil-cuenca-ecuador.php?tablajb=iluminacion&p=17&t=Medicion-de-iluminacion-de-ambientes-de-trabajo&>

# En metales

*Ley de ohm en forma diferencial*

$$j = \sigma E$$



[http://programacasasegura.org/co/wp-content/uploads/sites/4/2016/08/ohm\\_\\_\\_-300x245.jpg](http://programacasasegura.org/co/wp-content/uploads/sites/4/2016/08/ohm___-300x245.jpg)

## Tabla de clasificación

Grafeno

Plata

Cobre

Oro

Aluminio

Wolframio

$$k = \mu_0 [\epsilon \epsilon_0 \omega^2 + i \sigma \omega]$$

# Relación constantes ópticas

Constante óptica				
Relaciones	.....			

**Índice de Refracción ( $N$ ):** Propiedad de desviar un haz de luz y/o absorberlo.

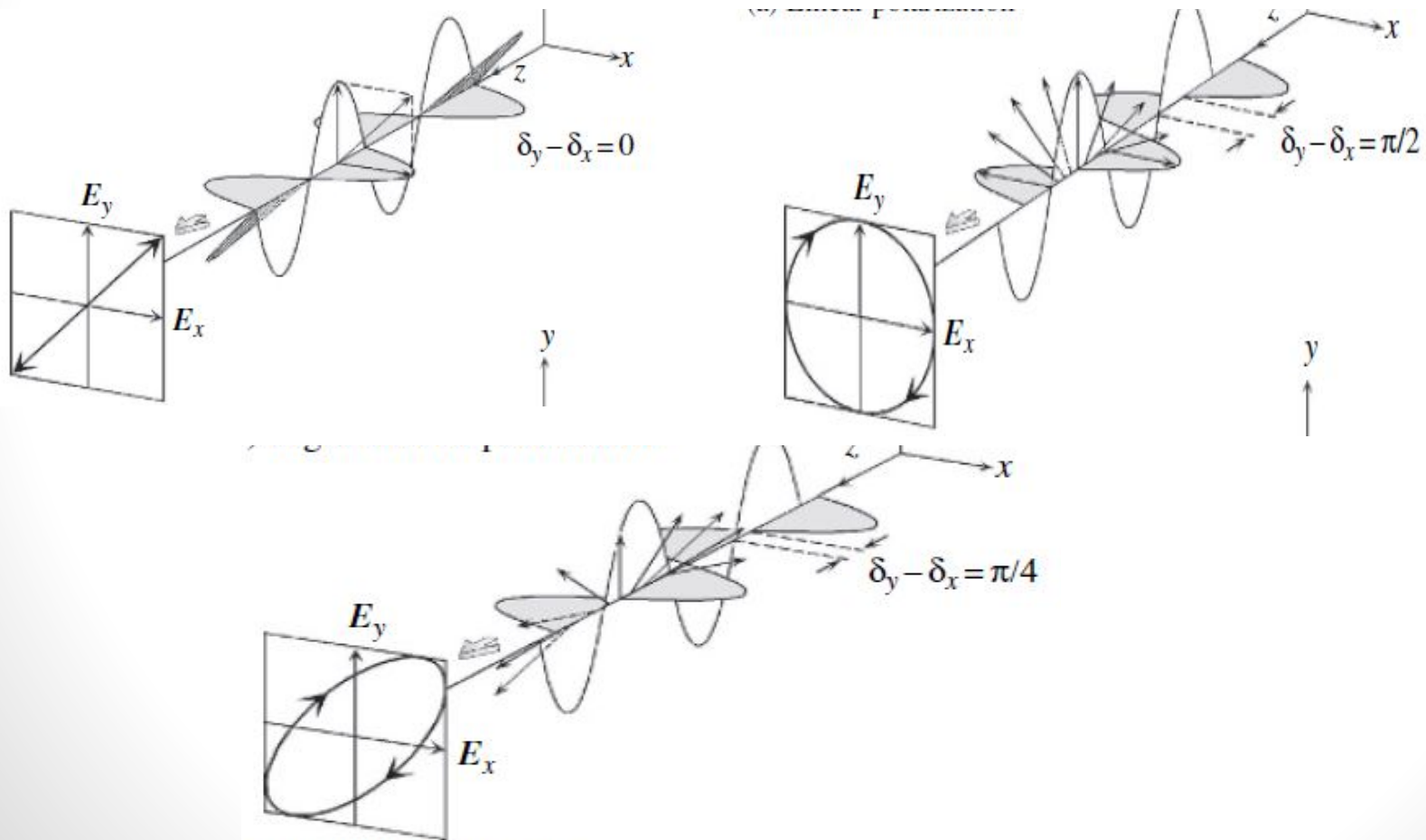
**Constante Dieléctrica ( $\epsilon$ ):** Cantidad vinculada a la facilidad de orientar dipolos eléctricos.

**Conductividad eléctrica ( $\sigma$ ):** Libertad de desplazamiento por parte de los electrones de valencia.

**Coeficiente de extinción ( $\alpha$ ):** Disminución de la intensidad de la luz.

# Polarización OEM

$$\left(\frac{E_p}{E_{op}}\right)^2 + \left(\frac{E_s}{E_{os}}\right)^2 - 2\left(\frac{E_p}{E_{op}}\right)\left(\frac{E_s}{E_{os}}\right) \cos(\Delta) = \operatorname{Sen}(\Delta)$$



# Formalismo de Stokes y jones

- Jones: Matriz 2x1 configurada a partir de las componentes de **E**.

$$E = \begin{bmatrix} E_p \\ E_s \end{bmatrix}$$

- Stokes: Matriz 4x1 configurada a partir de la intensidad de luz.

$$\begin{bmatrix} S_o \\ S_1 \\ S_2 \\ S_3 \end{bmatrix} = \begin{bmatrix} I_x + I_y \\ I_x - I_y \\ I_{45} - I_{-45} \\ I_R - I_L \end{bmatrix}$$

# Instrumentos ópticos

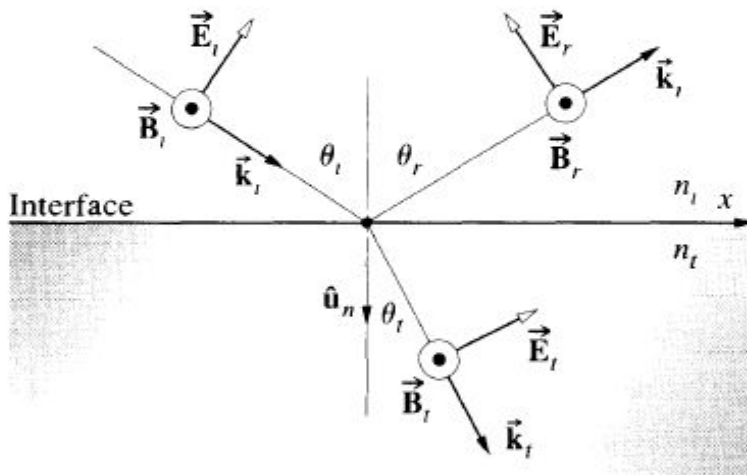
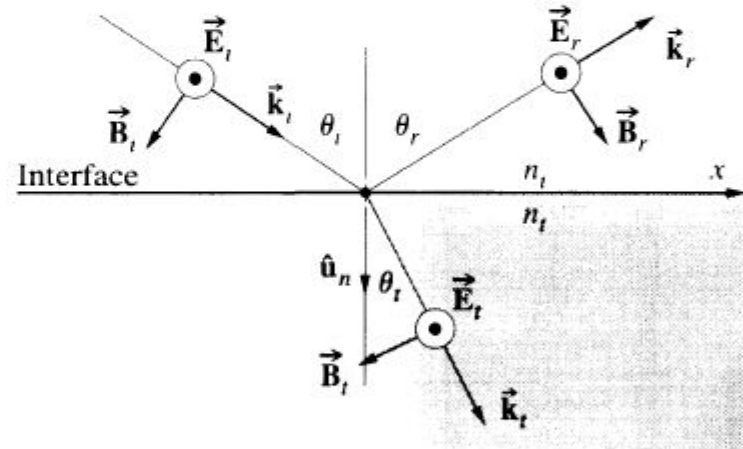
- Fuente: Fuente de la OEM.
- Polarizador [P]: Polariza linealmente la OEM dada por la fuente, con una contribución tipo p y tipo s.
- Compensador [C]: Establece un retardo entre las componentes tipo p y tipo s.
- Muestra [M]: Objeto de estudio.
- Analizador [A]: Polarizador lineal.
- Detector: Detecta la intensidad de la luz.

# Reflexión (ecuaciones de Fresnel)

- $\tilde{r}_p = \frac{\tilde{N}_2 \cos(\theta_i) - \tilde{N}_1 \cos(\theta_t)}{\tilde{N}_2 \cos(\theta_i) + \tilde{N}_1 \cos(\theta_t)}$

- $\tilde{r}_s = \frac{\tilde{N}_1 \cos(\theta_i) - \tilde{N}_2 \cos(\theta_t)}{\tilde{N}_1 \cos(\theta_i) + \tilde{N}_2 \cos(\theta_t)}$

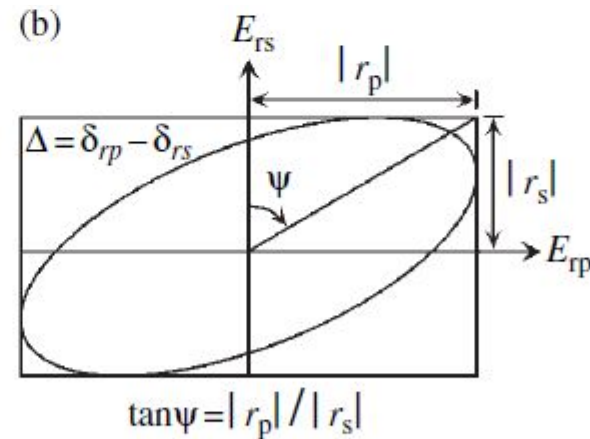
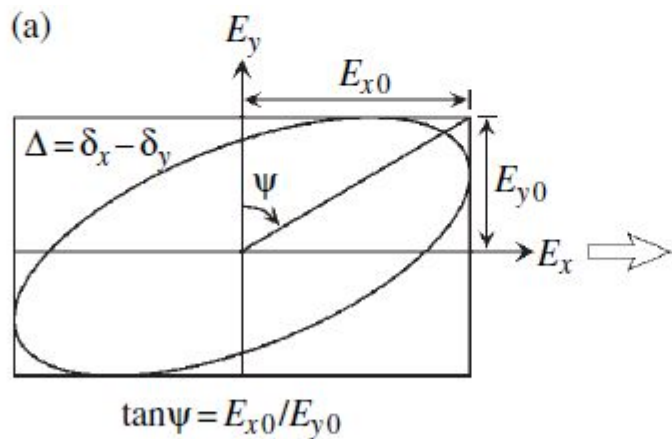
$$\tilde{N}_1 \sin(\theta_i) = \tilde{N}_2 \sin(\theta_t)$$



	Linealmente polarizada tipo p	Linealmente polarizada tipo s	Linealmente polarizada tipo (p,s)	Linealmente polarizada tipo (p,-s)	Circularmente (derecha)	Circularmente (izquierda)	No polarizada
Jones							-----
Stokes							
	Polarizador lineal.	Polarizador lineal tipo p	Polarizador lineal tipo s	Matriz rotación	Retardador		
Jones							
Polarizador lineal componente p I [P]	Polarizador lineal componente s [P]	Compensador [C]					

- $E = E_p \hat{p} + E_s \hat{s} = \begin{bmatrix} E_p \\ E_s \\ 1 \end{bmatrix} = \begin{bmatrix} E_{op} \\ E_{os} \\ 1 \end{bmatrix} e^{i\Delta} E_{os} e^{i(\omega t - kx + \delta_s)}$

$$\rho = \tan(\Psi) e^{-i\Delta} = \frac{\tilde{r}_p}{\tilde{r}_s}$$



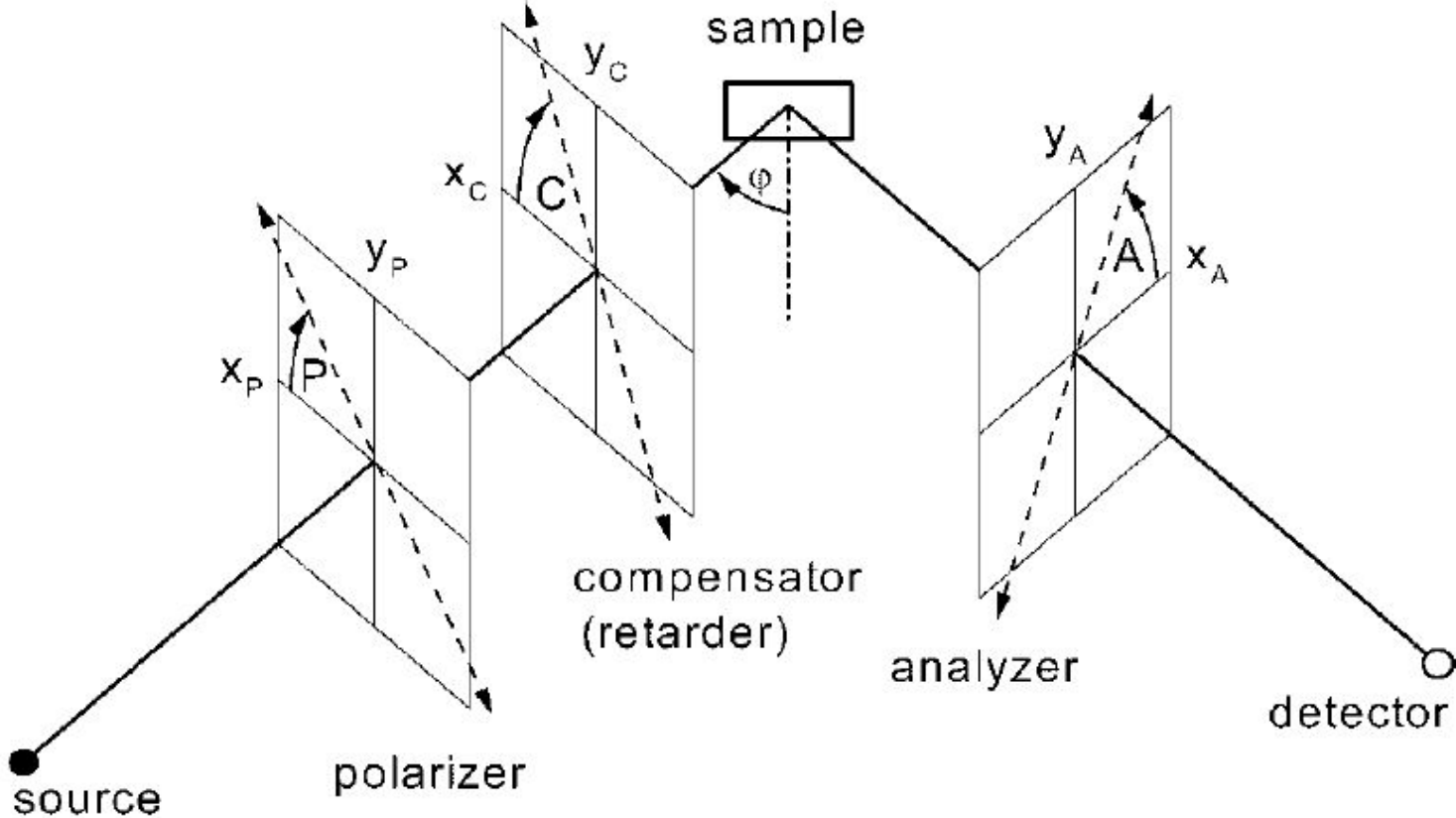
# Elipsometría

- Técnica de medición de los ángulos  $\Psi$  y  $\Delta$  con el fin de determinar las constantes ópticas, a partir del cambio del estado de polarización del vector de campo eléctrico descomponiéndolo en las componentes tipo (p) y tipo (s) del campo eléctrico.

Principalmente se clasifican dos tipos de técnicas:

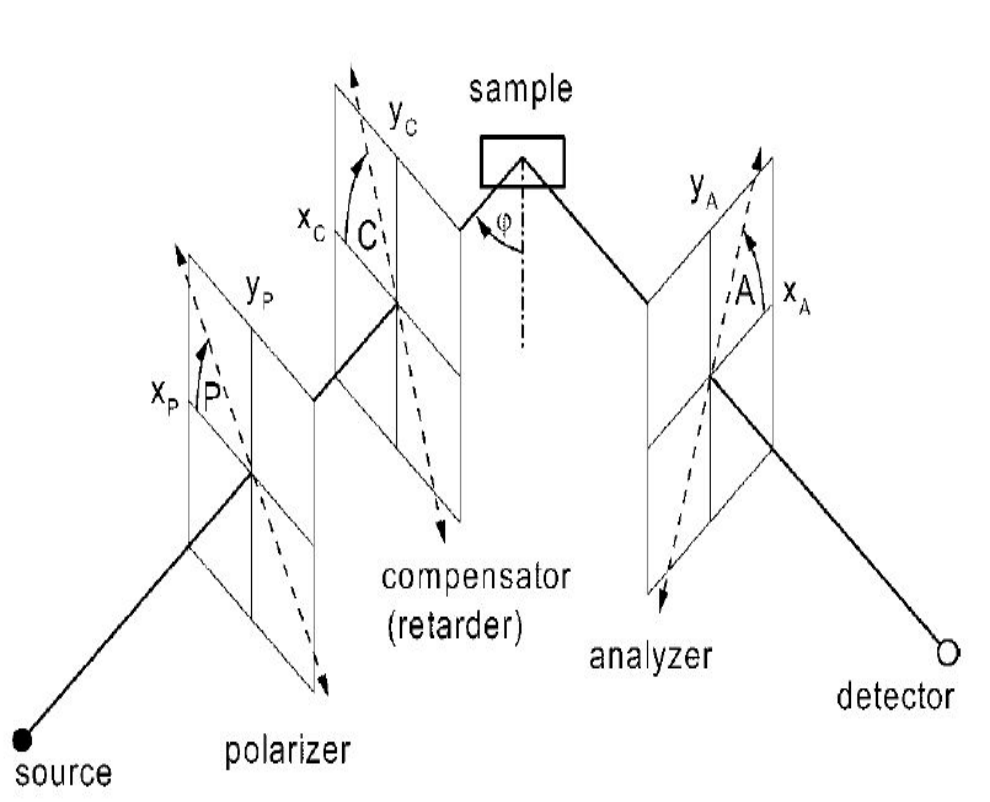
- ***Elipsometría Nula:*** Se configura de tal forma que la intensidad medida sea nula.
- ***Elipsometría fotométrica:*** Se rota uno de los componentes de tal forma de obtener la relación entre el Angulo vs la intensidad.

# Esquema montaje elipsométrico



# Elipsometría nula

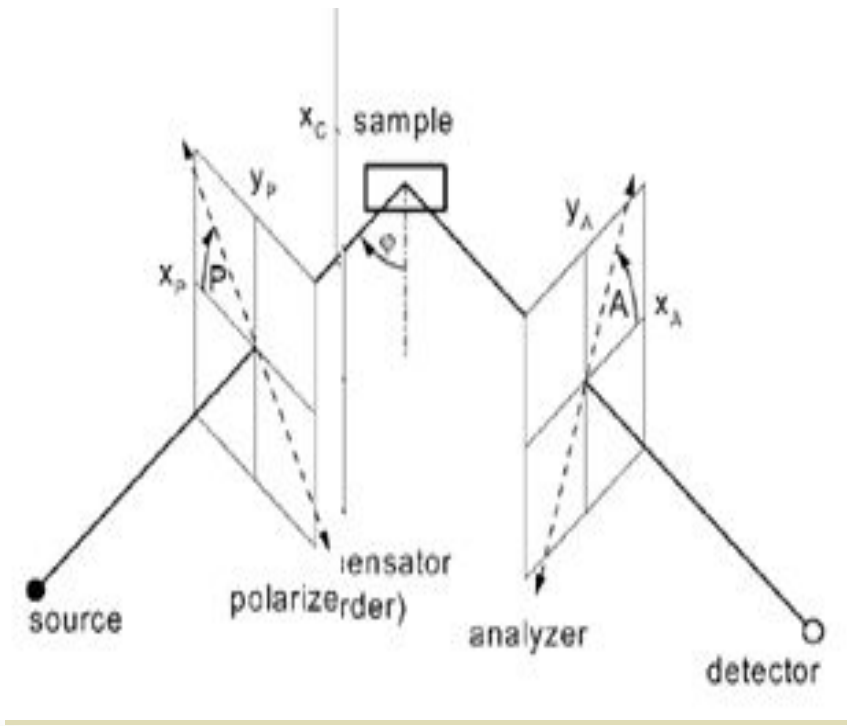
$$L_{out} = [A][R_A][S][R_{-C}][C][R_C][R_{-P}][P]L_{in} = [0]$$



$$-2 \left( p - \frac{\pi}{4} \right) = \Delta$$

$$-A = \Psi$$

# Configuración PSA

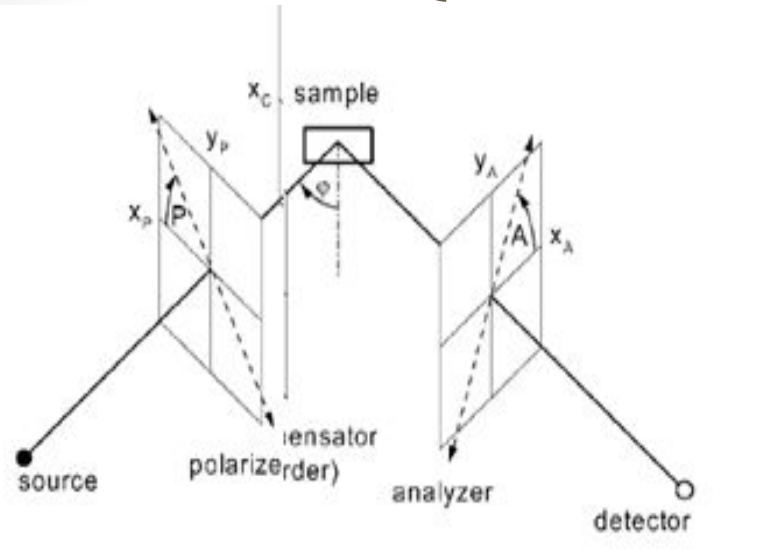


$$L_{out} = [A][R_A][S][R_{-P}][P]L_{in}$$

$$\tan^2(\psi) = \tan^2(P) \frac{I(0)}{I(\frac{\pi}{2})}$$

$$\cos(\Delta) = \frac{\left( I\left(\frac{\pi}{4}\right) - I(0) - I\left(\frac{\pi}{2}\right) \right)}{2 \sqrt{I(0)I\left(\frac{\pi}{2}\right)}}$$

# Elipsometría Fotométrica (Analizador rotatorio)

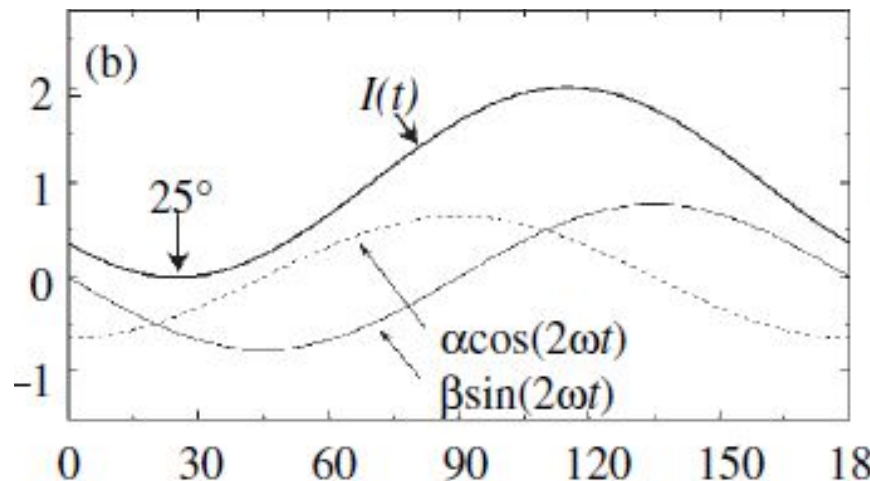


$$L_{out} = [A][R_A][S][R_{-P}][P][L_{in}]$$

$$I(t) = I_o(1 + S_1 \cos(2\omega t) + S_2 \sin(2\omega t))$$

$$S_1 = -\cos(2\Psi)$$

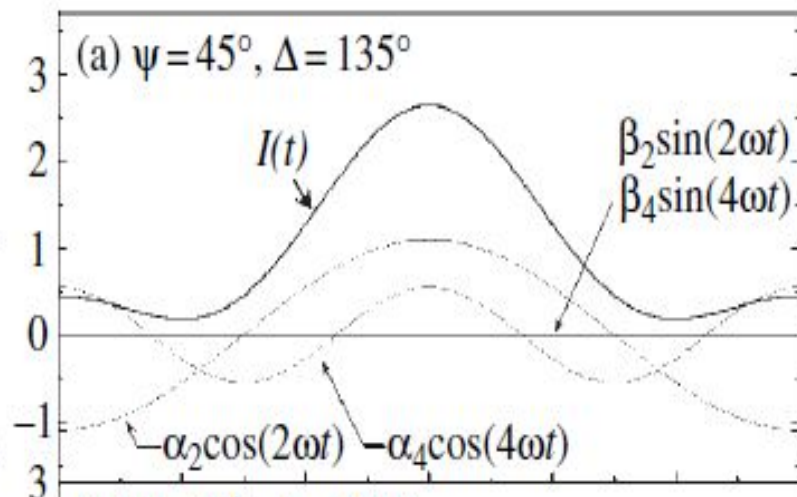
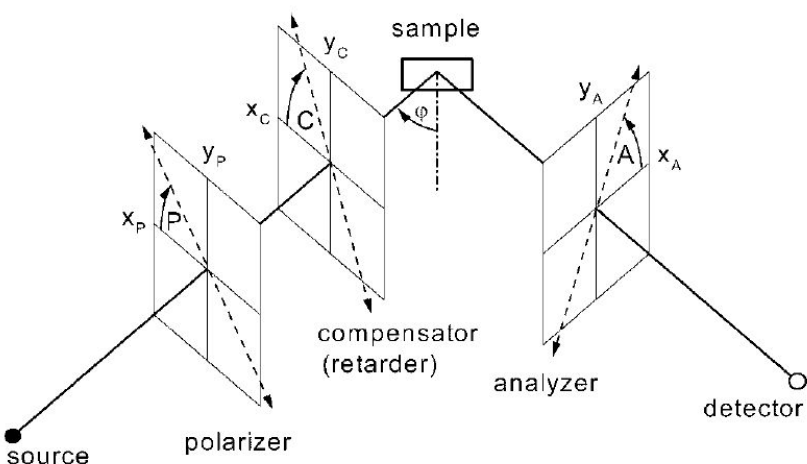
$$S_2 = \sin(2\Psi)\cos(\Delta)$$



# Elipsometría Fotométrica (Compensador rotatorio)

$$L_{out} = [A][R_A][R_{-c}][C][R_C][S][R_{-P}][P][L_{in}]$$

$$I(t) = I_0(1 + \alpha_2 \cos(2\omega t) + \beta_2 \sin(2\omega t) + \alpha_4 \cos(4\omega t) + \beta_4 \sin(4\omega t))$$



$$\alpha_o \beta_4 = P \operatorname{Sen}^2\left(\frac{\delta}{2}\right) \cos(2\epsilon) \cos(2A)$$

$$\alpha_o \alpha_4 = P \operatorname{Sen}^2\left(\frac{\delta}{2}\right) \operatorname{Cps}(2\epsilon) \cos(2A)$$

$$\alpha_o \alpha_2 = P \operatorname{Sen}(\delta) \operatorname{Sen}(2\epsilon) \operatorname{Sen}(2A)$$

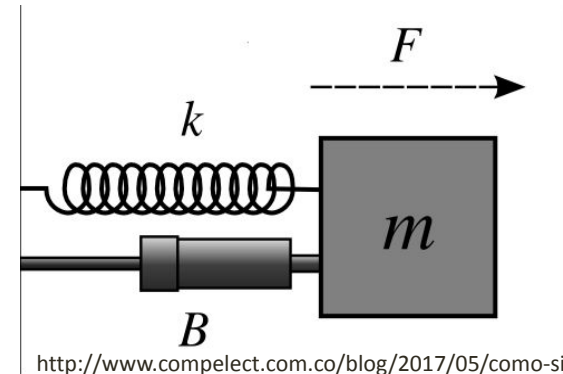
$$\alpha_o \beta_2 = -P \operatorname{Sen}(\delta) \operatorname{Sen}(2\epsilon) \cos(2A)$$

$$\alpha_o = 1 + P \operatorname{Cos}^2\left(\frac{\delta}{2}\right) \cos(2\epsilon) \cos(2A)$$

# Modelos Microscópicos

- Lorentz: Oscilador-armónico-amortiguado-forzado «materiales dieléctricos».

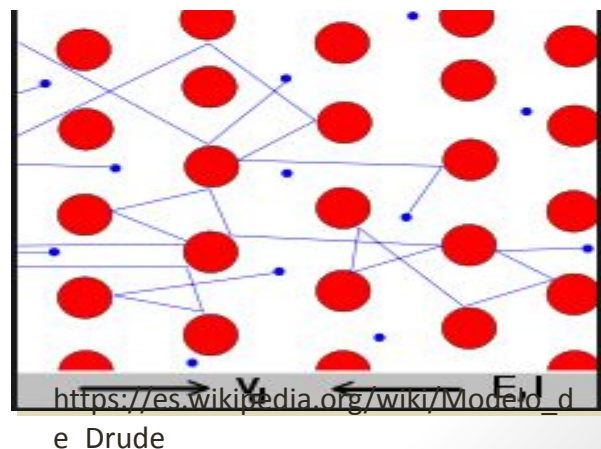
$$\frac{\partial^2 x}{\partial t^2} + \gamma \frac{\partial x}{\partial t} + \omega_0^2(x - x_0) = -\frac{eE_0}{m_e} e^{i\omega t}$$



<http://www.compelect.com.co/blog/2017/05/como-simular-un-sistema-masa-resorte-con-simulink/>

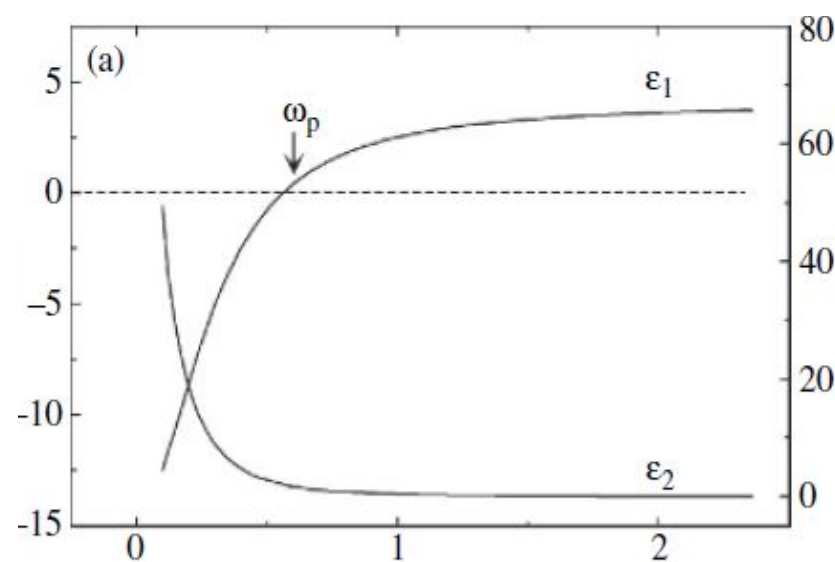
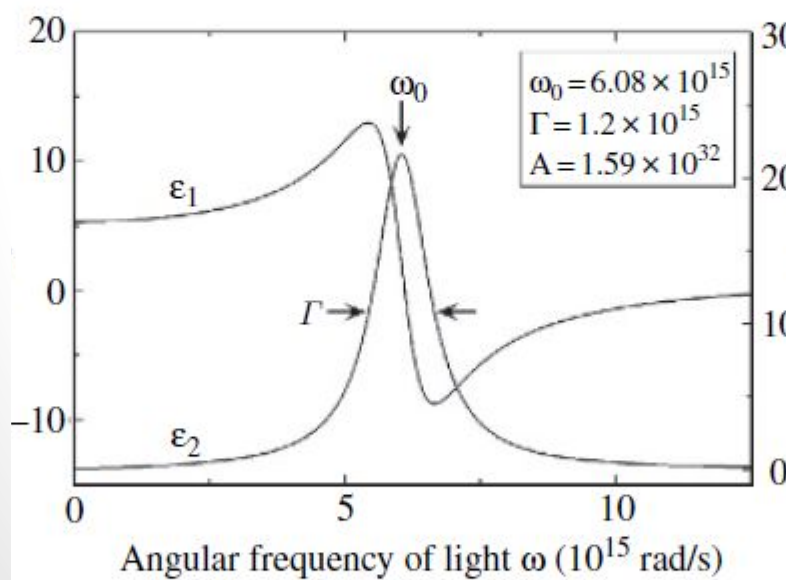
- Drude: Electrones libres sometidos a una fuerza externa y una fuerza viscosa «materiales conductores».

$$\frac{\partial^2 x}{\partial t^2} + \gamma \frac{\partial x}{\partial t} = -\frac{eE_0}{m_e} e^{i\omega t}$$



[https://es.wikipedia.org/wiki/Modelo\\_de\\_Drude](https://es.wikipedia.org/wiki/Modelo_de_Drude)

Modelo	Lorentz «dieléctricos»	Drude «conductores»
Ecuación diferencial	$\frac{\partial^2 x}{\partial t^2} + \gamma \frac{\partial x}{\partial t} + \omega_o^2(x - x_o) = -\frac{eE_o}{m_e} e^{i\omega t}$	$\frac{\partial^2 x}{\partial t^2} + \gamma \frac{\partial x}{\partial t} = -\frac{eE_o}{m_e} e^{i\omega t}$
Amplitud	$x_o = -\frac{eE_o}{m_e[\omega_o^2 - \omega^2 + i\gamma\omega]}$	$x_o = -\frac{eE_o}{m_e[i\gamma\omega - \omega^2]}$
Constante dieléctrica.	$\epsilon = 1 - \sum_{k=1}^{n_k} \frac{e^2 \eta_e f_k}{\epsilon_o m_e [\omega_{ok}^2 - \omega^2 + i\gamma_k \omega]}$	$\epsilon = 1 - \frac{e^2 \eta_e}{\epsilon_o \omega m_e [i\gamma - \omega]}$ $\epsilon = 1 - \frac{1}{[i\gamma - 1]} \left(\frac{\omega_p}{\omega}\right)^2$

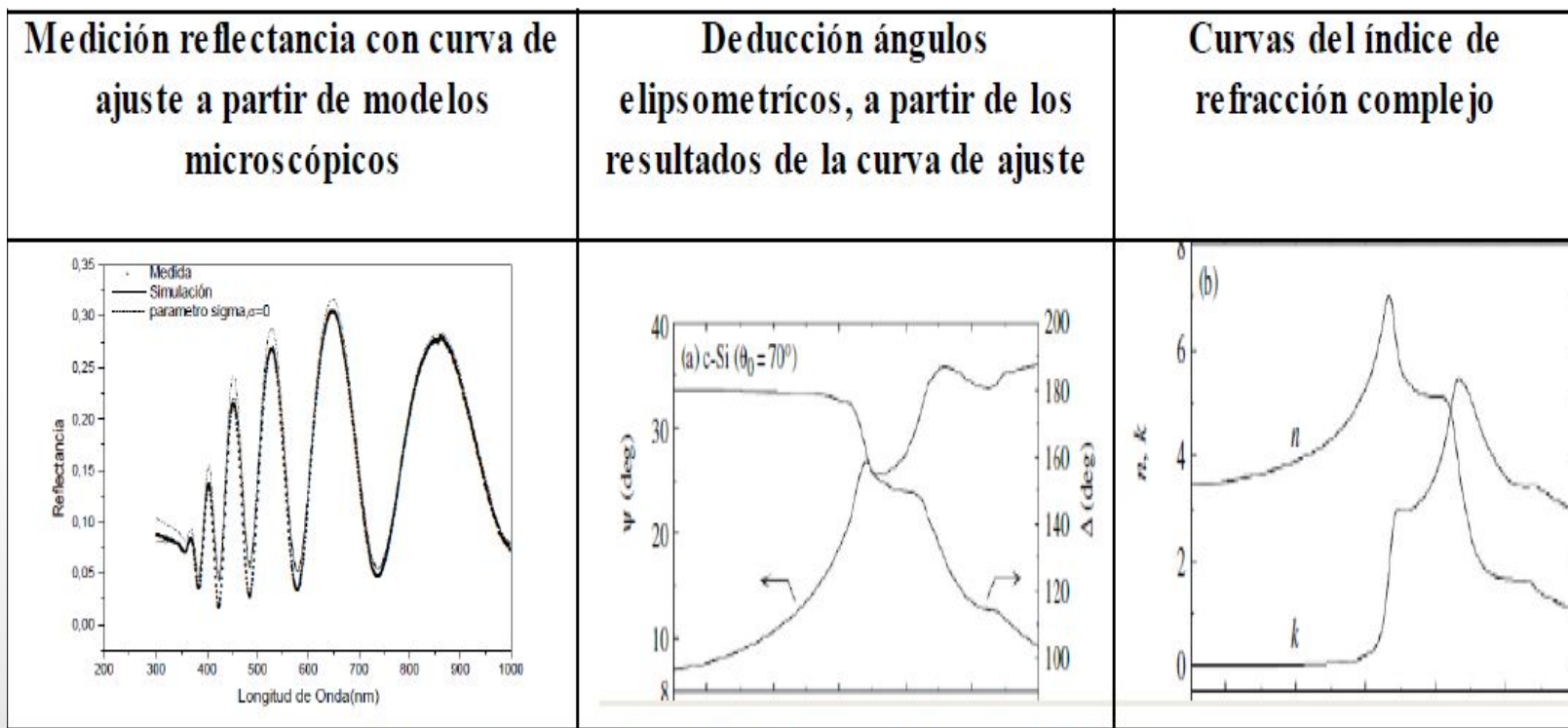


# Elipsometría espectral

- El carácter espectral viene dado por la variación de la longitud de onda incidente sobre la muestra y la respectiva medición de la reflectancia.

$$R_p = r_p^2$$

$$R_s = r_s^2$$



# Fuentes

- [1] Fujiwara, H. (2007). Spectroscopic Ellipsometry: Principles and Applications. *Wiley*.
- [2] Riedling, K. (1988). Ellipsometry for Industrial Applications. Springer-Verlag.
- [3] Tompkins, H y Eugene, I. (2005). Handbook of Ellipsometry. Springer.
- [4] Hetch, E. (2002). Optics. Addison Wesley.